

## Elektrische Eigenschaften Electrical properties

Höchstzulässige Werte	Maximum rated values			
Periodische Vorwärts-Spitzenperrspannung	repetitive peak forward off-state voltage	$t_{vj} = -40^\circ\text{C} \dots t_{vj,\max}$	$V_{DRM}$	600, 800 V 1000, 1100 v 1200, 1300* V
Vorwärts-Stoßspitzenperrspannung	non repetitive peak forward off-state voltage	$t_{vj} = -40^\circ\text{C} \dots t_{vj,\max}$	$V_{DSM} = V_{DRM}$	
Periodische Rückwärts-Spitzenperrspannung	repetitive peak reverse voltage	$t_{vj} = -40^\circ\text{C} \dots t_{vj,\max}$	$V_{RRM}$	15 v
Periodische Rückwärts-Spitzenperrspannung nach der Kommutierung	repetitive peak reverse voltage after commutation	$t_{vj} = -40^\circ\text{C} \dots t_{vj,\max}, t_p = 1 \mu\text{s}$	$V_{RRM(C)}$	50 V
Durchlaßstrom-Grenzeffektivwert	RMS on-state current	$t_c = 85^\circ\text{C}$	$I_{TRMSM}$	400 A
Dauergrenzstrom	average on-state current	$t_c = 88^\circ\text{C}$	$I_{TAVM}$	198 A 254 A
Stoßstrom-Grenzwert	surge current	$t_{vj} = 25^\circ\text{C}, t_p = 10 \mu\text{s}$ $t_{vj} = t_{vj,\max}, t_p = 10 \mu\text{s}$	$I_{TSM}$	3,1 kA 2,7 kA
Grenzlastintegral	/ $i^2dt$ -value	$t_c = 25^\circ\text{C}, t_p = 10 \mu\text{s}$ $t_c = t_{vj,\max}, t_p = 10 \mu\text{s}$	$\int i^2 dt$	48 kA <sup>2</sup> s 36,5 kA <sup>2</sup> s
Kritische Stromsteilheit	critical rate of rise of on-state current	$V_D \leq 67\% V_{DRM}, f_0 = 50 \text{ Hz}$ $V_L = 10 \text{ V}, i_{GM} = 1,2 \text{ A}, di_G/dt = 1,2 \text{ A}/\mu\text{s}$	$(di/dt)_{cr}$	400 A/ $\mu\text{s}$
Kritische Spannungssteilheit	critical rate of rise of off-state voltage	$t_{vj} = t_{vj,\max}, V_D = 67\% V_{DRM}$ 5. Kennbuchstabe/5th letter C 5. Kennbuchstabe/5th letter F	$(dv/dt)_{cr}$	500 V/ $\mu\text{s}$ 1000 V/ $\mu\text{s}$

## Charakteristische Werte Characteristic values

Durchlaßspannung	on-state voltage	$t_{vj} = t_{vj,\max}, i_T = 250 \text{ A}$	$V_T$	max.	2 v
Schleusenspannung	threshold voltage	$t_{vj} = t_{vj,\max}$	$V_{T(TO)}$	1,1 v	
Ersatzwiderstand	slope resistance	$t_{vj} = t_{vj,\max}$	$r_T$	1,3 m $\Omega$	
Zündstrom	gate trigger current	$t_{vj} = 25^\circ\text{C}, V_D = 12 \text{ V}$	$i_{GT}$	max.	300 mA
Zündspannung	gate trigger voltage	$t_{vj} = 25^\circ\text{C}, V_D = 12 \text{ V}$	$V_{GT}$	max.	2,7 V
Nicht zündender Steuerstrom	gate non-trigger current	$t_{vj} = t_{vj,\max}, V_D = 12 \text{ V}$	$i_{GD}$	max.	10 mA
Nicht zündende Steuerspannung	gate non-trigger voltage	$t_{vj} = t_{vj,\max}, V_D = 0,5 V_{DRM}$	$V_{GD}$	max.	0,25 v
Haltestrom	holding current	$t_{vj} = 25^\circ\text{C}, V_D = 12 \text{ V}, R_A = 10 \Omega$	$i_H$	max.	300 mA
Einraststrom	latching current	$t_{vj} = 25^\circ\text{C}, V_D = 12 \text{ V}, R_{GK} \geq 10 \Omega$	$i_L$	max.	1,2 A
Vorwärts- u. Rückwärts-Sperrstrom	forward off-state and reverse Currents	$i_{GM} = 1,2 \text{ A}, di_G/dt = 1,2 \text{ A}/\mu\text{s}, t_g = 20 \mu\text{s}$ $t_{vj} = t_{vj,\max}, V_D = V_{DRM}, V_R = V_{RRM}$	$i_D$	max.	30 mA
Zündverzug	gate controlled delay time	$t_{vj} = 25^\circ\text{C}, i_{GM} = 1,2 \text{ A}, di_G/dt = 1,2 \text{ A}/\mu\text{s}$	$i_R$	max.	150 mA
Freiwerdezeit	circuit commutated turn-off time	siehe Techn. Erl./see Techn. Inf.	$t_{gd}$	max.	1,4 $\mu\text{s}$
			$t, D:$	max.	15 $\mu\text{s}^{-1}$
			$E:$	max.	20 $\mu\text{s}^{-1}$

## Thermische Eigenschaften Thermal properties

Innerer Wärmewiderstand für beidseitige Kühlung	thermal resistance, junction to case for two-sided cooling	$\Theta = 180^\circ \text{ el, sin}$ DC	$R_{thJC}$	max.	0,117 °C/W
für anodenseitige Kühlung	for anode-sided cooling	$\Theta = 180^\circ \text{ el, sin}$ DC	$R_{thJC(A)}$	max.	0,103 °C/W
für kathodenseitige Kühlung	for cathode-sided cooling	$\Theta = 180^\circ \text{ el, sin}$ DC	$R_{thJC(K)}$	max.	0,18 °C/W 0,166 °C/W
Übergangswärmewiderstand	thermal resistance, case to heatsink	$\Theta = 180^\circ \text{ el, sin}$ beidseitig/two-sided einseitig/one-sided	$R_{thCK}$	max.	0,28 °C/W 0,266 °C/W
Höchstzul. Sperrsichttemperatur	max. junction temperature				0,015 °C/W
Betriebstemperatur	Operating temperature				0,03 °C/W
Lagertemperatur	storage temperature				125 °C
		$t_{vj,\max}$			-40 ... + 125 °C
		$t_{c,op}$			-40 ... + 140 °C
		$t_{stg}$			

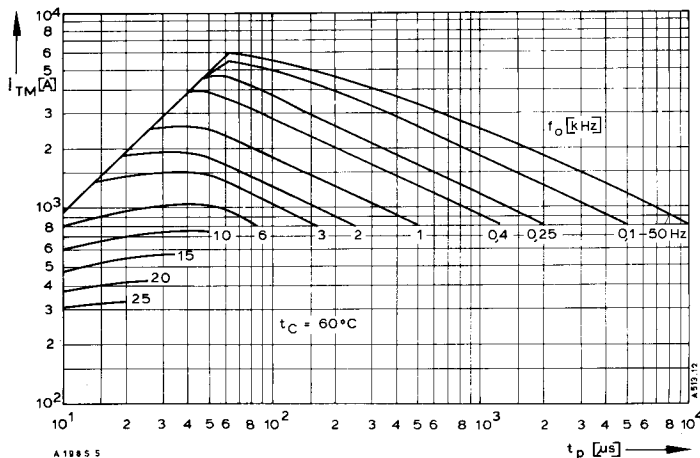
## Mechanische Eigenschaften Mechanical properties

Mechanische Eigenschaften	Mechanical properties			
Si-Elemente mit Druckkontakt	Si-pellets with pressure contact			
Anpreßkraft	Clamping force		$F$	2,5 ... 4,5 kN
Gewicht	weight		$G$	typ. 70 g
Kriechstrecke	Creepage distance			17 mm
Feuchtekategorie	humidity classification	DIN 40040		C
Schwingfestigkeit	Vibration resistance	$f = 50 \text{ Hz}$		50 m/s <sup>2</sup>
Maßbild	outline	DIN 41814-151A4		Seitelpage 154

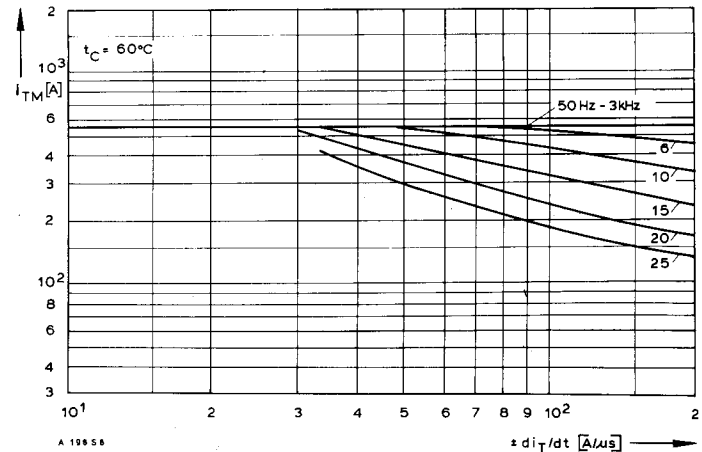
\* Für größere Stückzahlen bitte Liefertermin erfragen/Delivery for larger quantities on request

1) mit antiparalleler Diode/with inverse paralleled diode

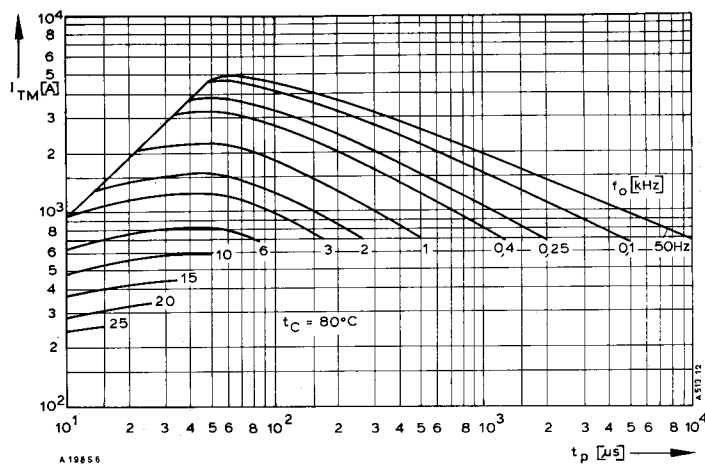
2)  $V_{DRM} \leq 1000 \text{ V}$



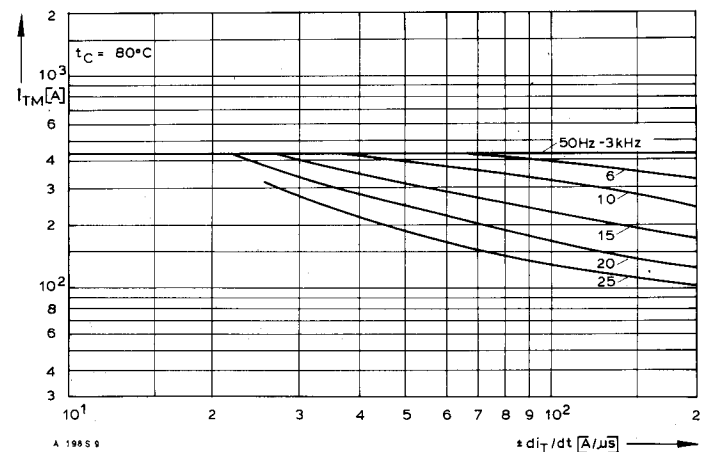
Bild/Fig. 1



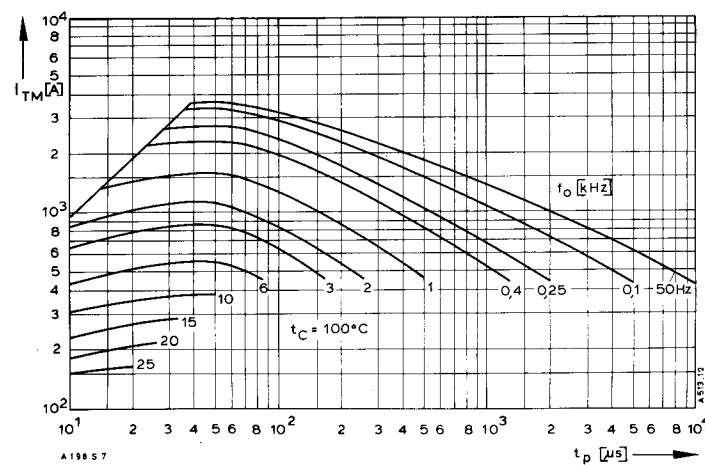
Bild/Fig. 4



Bild/Fig. 2



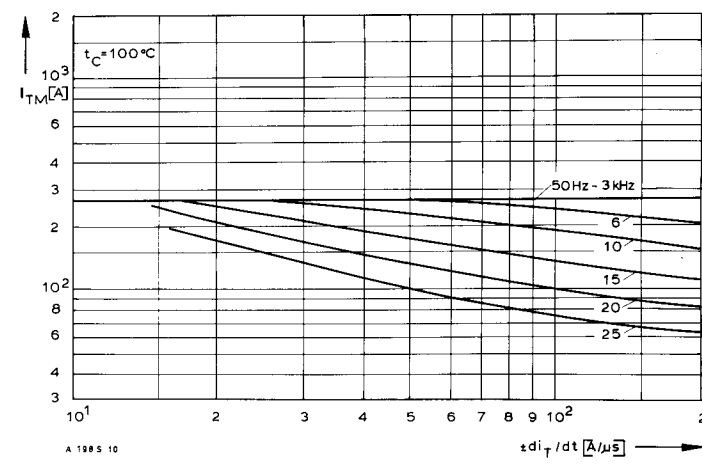
Bild/Fig. 5



Bild/Fig. 3

Bild/Fig. 1, 2, 3  
Steuergenerator/pulse generator:  
 $i_G = 2,4 \text{ A}$ ,  $\frac{di_G}{dt} = 2,4 \text{ A}/\mu\text{s}$

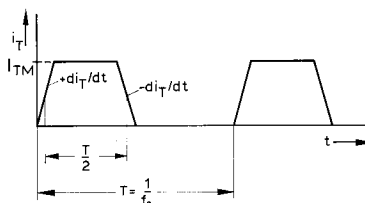
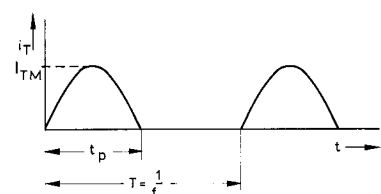
RC-Glied/RC-network:  
 $R [\Omega] \geq 0,02 V_{DM} [\text{V}]$   
 $C \leq 0,15 \mu\text{F}$   
 $V_{DM} \leq 0,67 V_{DRM}$

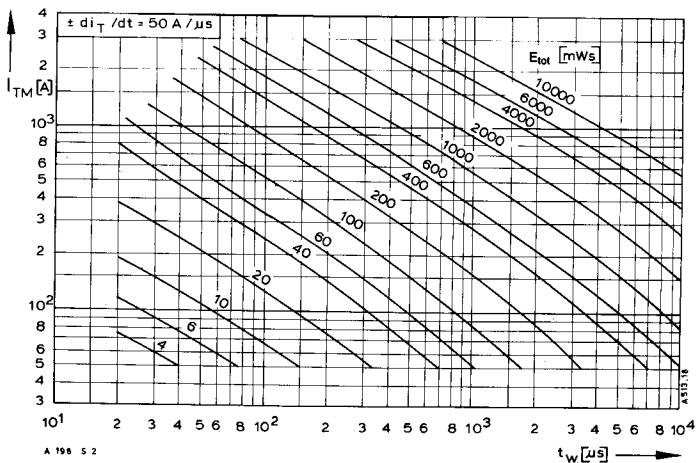


Bild/Fig. 6

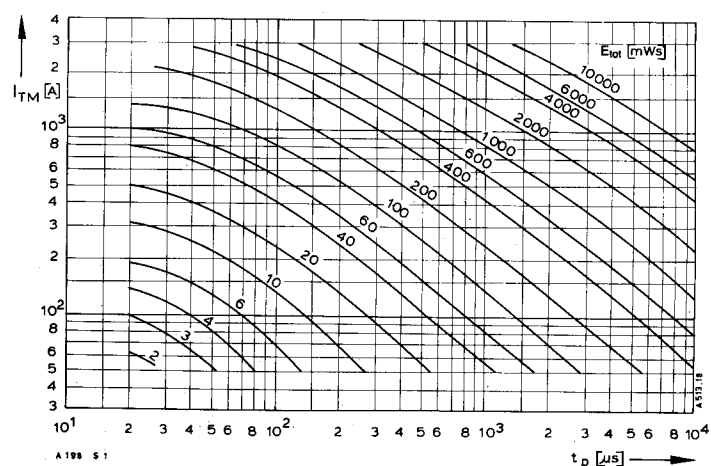
Bild/Fig. 4, 5, 6  
Steuergenerator/pulse generator:  
 $i_G = 2,4 \text{ A}$ ,  $\frac{di_G}{dt} = 2,4 \text{ A}/\mu\text{s}$

RC-Glied/RC-network:  
 $R [\Omega] \geq 0,02 V_{DM} [\text{V}]$   
 $C \leq 0,22 \mu\text{F}$   
 $V_{DM} \leq 0,67 V_{DRM}$

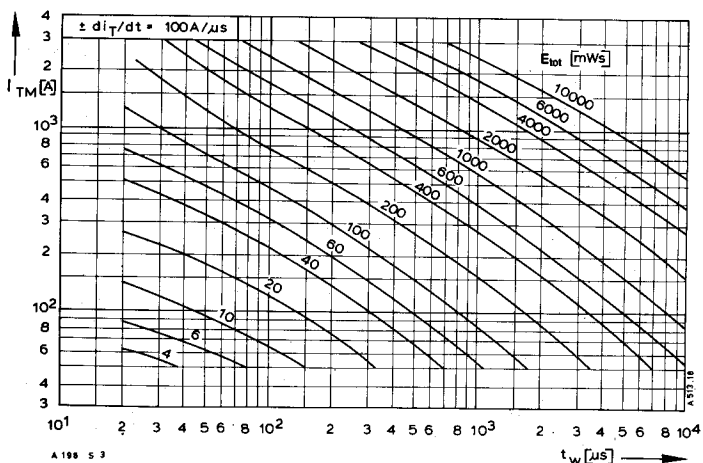




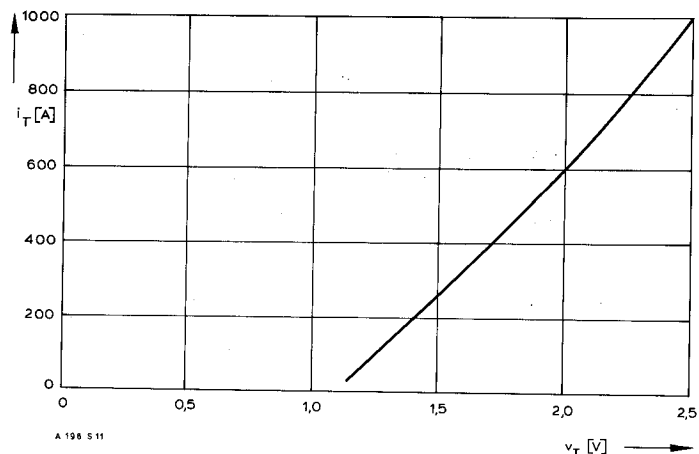
Bild/Fig. 7



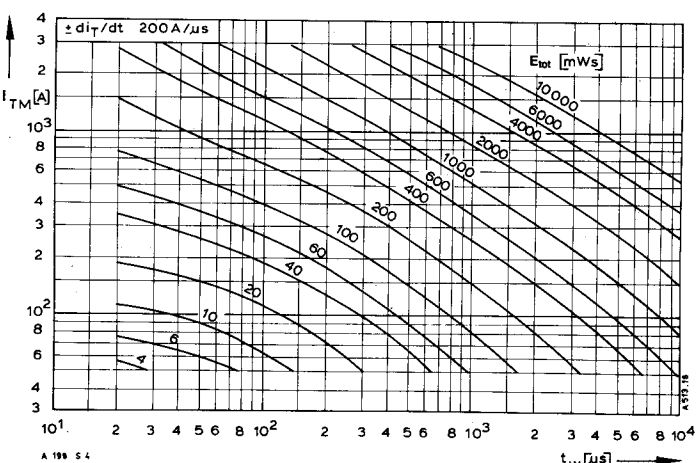
Bild/Fig. 13



Bild/Fig. 8



Bild/Fig. 14



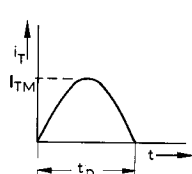
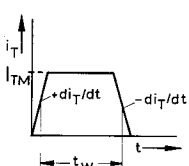
Bild/Fig. 9

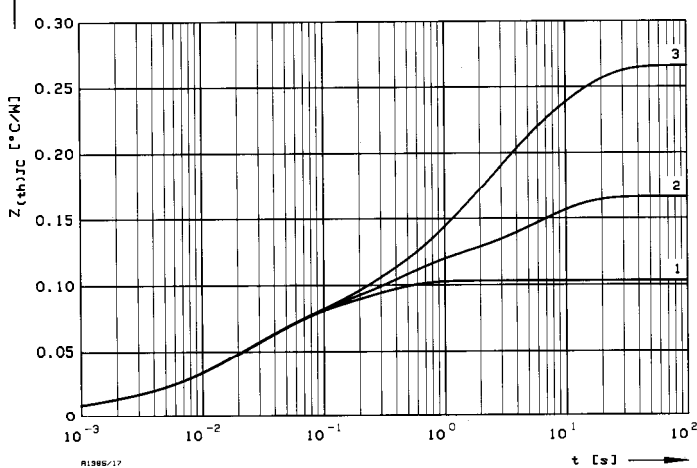
Bild/Fig. 7, 8, 9  
Steuergenerator/pulse generator:  
 $i_G = 2,4 \text{ A}$ ,  $di_G/dt = 2,4 \text{ A}/\mu\text{s}$

RC-Glied/RC-network:  
 $R [\Omega] \geq 0,02 v_{DM} [\text{V}]$   
 $C \leq 0,22 \mu\text{F}$   
 $v_{DM} \leq 0,67 v_{DRM}$   
 $v_{RM} \leq 15 \text{ V}$

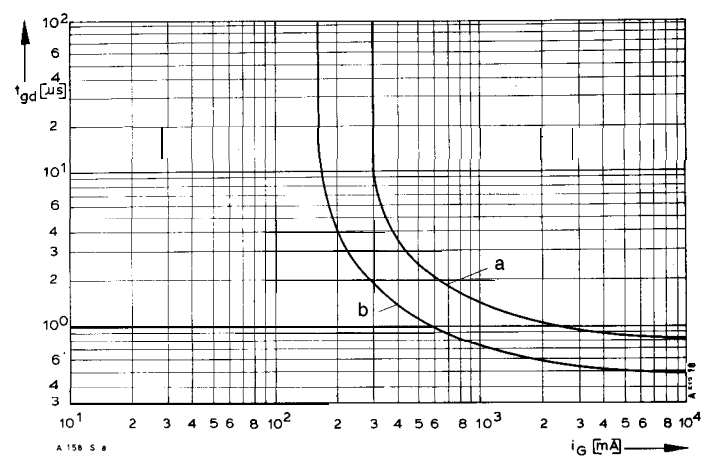
(zu Bild/Fig. 13)  
Steuergenerator/pulse generator:  
 $i_G = 2,4 \text{ A}$ ,  $di_G/dt = 2,4 \text{ A}/\mu\text{s}$

RC-Glied/RC-network:  
 $R [\Omega] \geq 0,02 v_{DM} [\text{V}]$   
 $C \leq 0,15 \mu\text{F}$   
 $v_{RM} \leq 15 \text{ V}$

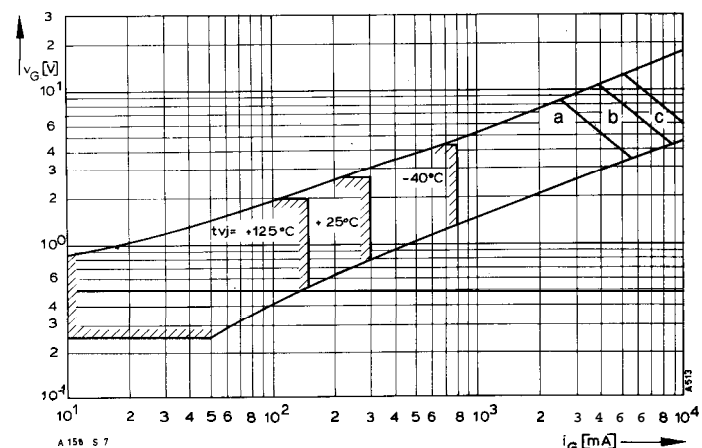




BildFig. 17  
Transienter innerer Wärmewiderstand  $Z_{thJC} = f(t)$ , DC  
Transient thermal impedance  $Z_{thJC} = f(t)$ , DC  
1 Beidseitige Kühlung/two-sided cooling  
2 Anodenseitige Kühlung/anode side cooling  
3 Kathodenseitige Kühlung/cathode side cooling



BildFig. 16  
Zündverzug/Gate controlled delay time  $t_{gd} = f(i_{GM})$ ,  $t_{vj} = 25^\circ\text{C}$ ,  $di_G/dt = i_{GM}/1 \mu\text{s}$   
a – Maximaler Verlauf/Limiting Characteristic  
b – Typischer Verlauf/Typical Characteristic



BildFig. 19  
Steuercharakteristik mit Zündbereichen/Gate Characteristic with triggering areas  
 $v_G = f(i_G)$ ,  $V_o = 12 \text{ V}$

Parameter:	a	b	c
Steuerimpulsdauer/Trigger pulse duration $t_g$ [ms]	10	1	0,5
Höchstzulässige Spitzensteuerverlustleistung/ Max. rated peak gate power dissipation $P_{GM}$ [W]	20	40	60

Analytische Elemente des transienten Wärmewiderstandes  $Z_{thJC}$  für DC  
Analytical elements of transient thermal impedance  $Z_{thJC}$  for DC

Kühlung	Pos. n	1	2	3	4	5	6	7
beidseitig	$R_{thn} [\text{°C}/\text{W}]$	0,007545	0,018999	0,046128	0,030328			
two-sided	$\tau_n [\text{s}]$	0,000788	0,008775	0,032627	0,241467			
anodenseitig	$R_{thn} [\text{°C}/\text{W}]$	0,007705	0,022843	0,044024	0,040095	0,051333		
anode-sided	$\tau_n [\text{s}]$	0,000805	0,009796	0,036779	0,373654	5,973800		
kathodenseitig	$R_{thn} [\text{°C}/\text{W}]$	0,007899	0,013758	0,038934	0,023369	0,028398	0,079099	0,074643
cathode-sided	$\tau_n [\text{s}]$	0,000827	0,008751	0,022657	0,118979	0,577846	2,171151	9,760818

Analytische Funktion/analytical function:

$$Z_{thJC} = \sum_{n=1}^{n_{\max}} R_{thn} (1 - \exp(-t/\tau_n))$$